

## Comparações entre condições existentes em conversores

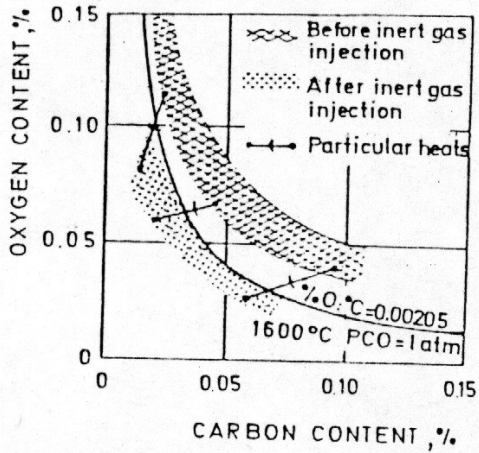


Fig. 17 - Effect of inert gas injection on the carbon and oxygen contents of the metal (12)

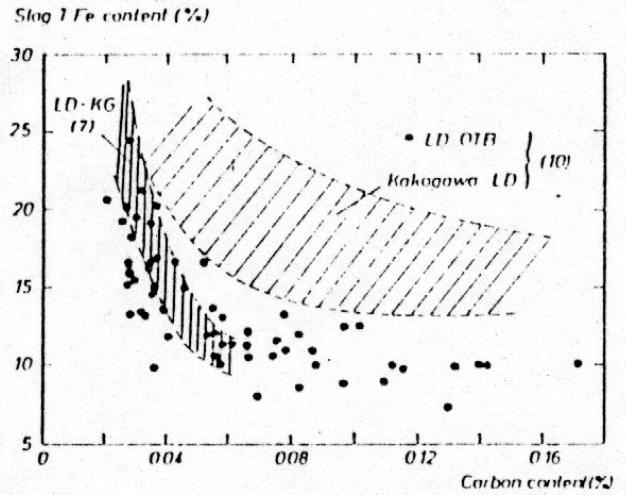


Fig. 14 - Slag iron content vs. carbon content at turndown (LD-OTB process) (10)

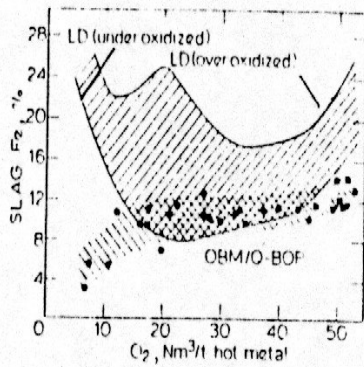


Fig. 4 - Top and bottom blowing processes, low P hot metal: evolution of the slag iron content (2).

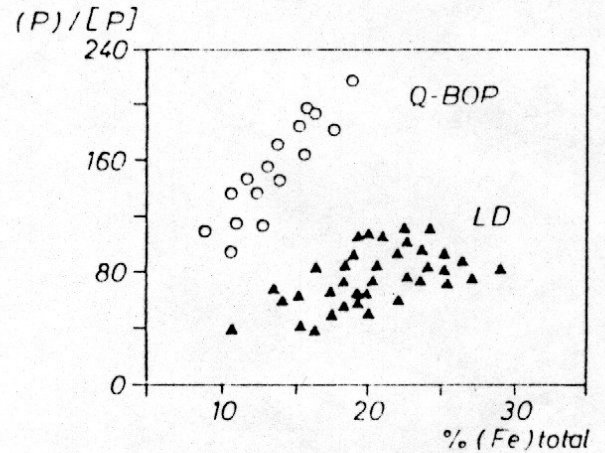


Fig. 6 - Relationship between phosphorus partition ratio and total iron in the slag (4)

**Nota:** Fe na escória é uma forma de expressar a concentração de FeO na escória. Com exceção da Figura 4, que se refere a evolução ao longo da corrida (onde fica  $10000\text{Nm}^3$  para 180t de gusa?) as demais figuras se referem a fim-de-sopro.

Na Figura 14, há dados de LD-KG (sopro combinado) LD-OTB (idem, pontos pretos) e LD.